

ANALISIS MOMEN INERSIA TIPPE TOP DI BIDANG DATAR SEBAGAI KONTRIBUSI PADA MATA KULIAH MEKANIKA

Melly Ariska

Dosen Pendidikan Fisika Universitas Sriwijaya
Jalan Palembang-Prabumulih, Indralaya Palembang
Email: ariskamelly@yahoo.co.id

Abstrak: The moment of inertia of a reverse gas can be calculated by physically analyzing the parts of the return gas. The back casing consists of a cut ball and a small tube. The back of the head is a ball (sphere) which has a radius R while the handle forms a finger that has fingers. The moment of inertia back gasing is the sum of the moment of truncated inertia and the moment of inertia of the tube with the rotating axis at the center of the mass in the back gas. Backfill is an example of a rigid body system that has a holonomic style, which can move in translation and rotation.

Kata-kata kunci : gasing balik, gaya holonomik, momen inersia

PENDAHULUAN

Momen inersia gasing balik yang bergerak di bidang datar dengan menggunakan persamaan Eular. Oleh karena bentuk gasing balik yang unik dan kompleks. Penulis tertarik untuk mengalisis momen inersia pada gasing balik di bidang datar dengan persamaan Eular. Dinamika rotasi sifit dirumuskan dengan persamaan Eular-Lagrange karena dinamika rotasi mengandung kecepatan udut yang pada umumnya bukan laju turunan waktu secara langsung dari koordinat momentum. Hal ini disebabkan generator rotasi tidak komutatif, sehingga dinamika rotasi sulit jika diselesaikan dengan persamaan Eular-Lagrange. Persamaan Poincaré dipilih oleh penulis karena persamaan ini dapat merumuskan dinamika gasing balik dengan jelas. Selain itu, persamaan Poincaré dapat menggambarkan sistem dinamik berupa sistem persamaan diferensial. Kajian ini merupakan upaya untuk memahami gerak

gasing balik dengan menggunakan teori grup dan penyederhanaan persamaan

gerak gasing balik melalui persamaan Poincaré.

Asal usul penelitian tentang gerak angasi gasing balik dijelaskan dalam sebuah buku tahun 1890 oleh John Perry (dalam Cohen, 1977) yang bereksperimen dengan memutar batubulat yang ditemukan di Pantai. Perry menjelaskan bahwa batubulat ini memiliki pusat massa yang tidak berimpit dengan pusat geometri batu tersebut. Ketika batu diputar, pusat massa menjadi lebih tinggi menjauhi permukaan tanah.

Penjelasan mengenai gerak gasing balik mulai dituangkan dalam beberapa artikel ilmiah sejak tahun 1950-an, di antaranya oleh Pliskin (1953) yang menyatakan bahwa interaksi gesekan pada gasing balik terhadap plana berperan penting dalam putaran gasing balik. Sementara Syngle tahun 1952 (dalam Pliskin, 1953)

menjelaskan bahwa fenomena gerak gasing balik merupakan akibat ketidakstabilan dinamika pada penerapan klasik. Selanjutnya, Del Campo pada tahun 1955 (dalam Cohen, 1977) menjelaskan secara rincian perhitungan matematis mengenai peran anggeseikan pada gasing balik. Del Campo menyimpulkan bahwa yang memengaruhi peristiwa pembalikan pada gasing balik.

METODE PENELITIAN

Penelitian ini bersifat kajian teoretis matematis. Peneliti dan dilakukan dengan antara hadapan beberapa pustaka mengenai sistem mekanik pada kasus gasing balik yang telah dikembangkan sebelumnya serta perhitungan matematis.

Persamaan Poincare dapat dituliskan dengan,

$$\frac{d}{dt} \left(\frac{\partial \bar{T}}{\partial s^i} \right) - c^r{}_{li}(q) s^l \frac{\partial \bar{T}}{\partial s^r} - \frac{\partial \bar{T}}{\partial \sigma^i} = S_i$$

Akan tetapi, persamaan ini menuntut agar ditemukannya kecepatan kuasi sebagai turunan langsung terhadap waktu dari koordinat kuasi. Semua itu, pada kasus gasing balik kecepatan kuasi yang dimiliki bukanlah turunan waktu secara langsung dari koordinat siklik. Oleh sebab itu, Persamaan Poincare yang digunakan dalam penelitian ini untuk menganalisis dinamika gasing balik di bidang datar dan permukaan dalam tabung adalah persamaan Poincare yang didasari dengan reduksi Routhian, yang dapat dituliskan sebagai berikut

$$\begin{aligned} \frac{d}{dt} \frac{\partial R}{\partial v^\rho} - \sum_{\mu=2}^n \sum_{\lambda=2}^n c^\lambda{}_{\mu\rho} v^\mu \frac{\partial R}{\partial v^\lambda} \\ - \sum_{\mu=2}^n c^\lambda{}_{\mu\rho} v^\mu \beta_1 - X_\rho R = 0 \end{aligned}$$

Gerakan bendanya digambarkan oleh dua persamaan vektor, yaitu $\mathbf{F} = d\mathbf{p}/dt$ untuk translasi pada pusat massa, dan $\mathbf{M} = d\mathbf{L}/dt$

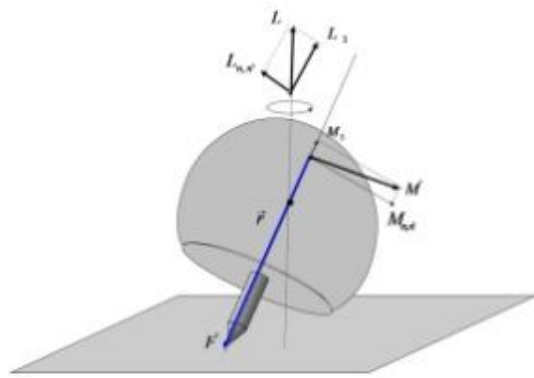
untuk rotasi di sekitar pusat massa, dengan \mathbf{F} gaya ekternal total, \mathbf{p} momentum, \mathbf{M} momen total gaya ekternal, dan \mathbf{L} momentum sudut. Gasing balik terdiri dari bola dan batang silinder dengan pusat massa adapt berpindah dari pusat pada bola, maksudnya adapt lurus di bawah pusat geometri atau lurus di atas pusat geometri.

Awalnya gasing balik berputar di sekitar sumbu simetri yaitu $\hat{\mathbf{e}}_3$ secara vertikal, kemudian batang gasing balik secara perlahan bergerak turun dan akhirnya kepala membalik ke atas dan berotasi secara vertikal dengan batang gasing balik. Rotasi mengubah arah gasing balik, sementara vektor \mathbf{L} tetap bertahan pada posisi vertikal aslinya. Selanjutnya, pusat massa bergerak ke atas akibat menurunnya nilai \mathbf{L} . Hal ini disebabkan oleh aksi gesekan \mathbf{F} pada titik kontak gasing balik terhadap meja.

Gaya gesek \mathbf{F} menyebabkan timbulnya momen gaya \mathbf{M} , yang dapat dibayangkan memiliki komponen vektor $\mathbf{M}_{n,n'}$ dan \mathbf{M}_3 di sepanjang sumbu simetri $\hat{\mathbf{e}}_3$. Demikian pula, momentum sudut \mathbf{L} memiliki komponen $\mathbf{L}_{n,n'}$ dan \mathbf{L}_3 . Pada awalnya, $\mathbf{L}_3 = \mathbf{L}$ dan $\mathbf{L}_{n,n'} = 0$, akibatnya ketidakstabilan, gaya gesek menghasilkan \mathbf{M}_3 yang menurunkan \mathbf{L}_3 , sementara $\mathbf{M}_{n,n'}$ mulai meningkatkan $\mathbf{L}_{n,n'}$. Karena \mathbf{L} bertahan konstan, sudut θ yaitu sudut kemiringan gasing balik akan terus membesar, dan ketika $\theta = \pi/2$, $\mathbf{L}_3 = 0$ dan $\mathbf{L}_{n,n'} = \mathbf{L}$. Kemudian rotasi di sepanjang sumbu 3 berubah arah, dan karena aksi $\mathbf{M}_{n,n'}$ dan \mathbf{M}_3 , \mathbf{L}_3 mulai meningkat karena menurunnya $\mathbf{L}_{n,n'}$. Akhirnya, batang menyentuh meja karena aksi gaya gesek dan momen gaya baru, yaitu \mathbf{F}' dengan momen torsi \mathbf{M}' yang membuat gasing balik dapat mengangkat dirinya sendiri dengan stabil.

Komponen $\mathbf{L}_{n,n'}$ dilambatkan oleh $\mathbf{M}_{n,n'}$ yang baru dan akhirnya \mathbf{L}_3 menjadi sama dengan \mathbf{L} .

Selama proses inversi berlangsung pusat massa pada gas ringbalik k ditinggikan. Hal ini menyatakan energi kinetik rotasional menurun selama inversi berlangsung akibatnya energi potensi alam mengalami peningkatan, sehingga kecepatan sudut total dan momentum sudut total menurun selama proses inversi. Proses ini dapat dilihat pada Gambar 1 yang menunjukkan proses inversi pada gas ringbalik.



Gambar 1. Titik Pusat Massa Pada Gas ringbalik

HASIL DAN PEMBAHASAN

Momen Inersia Gas ringbalik

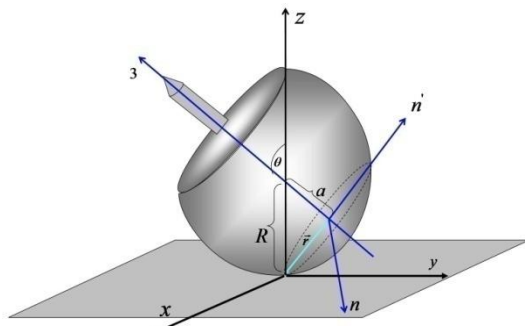
Gas ringbalik merupakan sebuah bola dengan radius R yang memiliki distribusi massa simetri sumbu tetapi tidak simetri bola, sehingga pusat massa dan pusat geometri tidak berimpit. Garis yang menghubungkan pusat massa dan pusat geometri adalah sumbu simetri inersial garis ini merupakan bidang yang tegak lurus terhadap sumbu tensor momen inersia pada bola yang mempunyai dua momen inersia utama yang sama yaitu $I_n = I_{n'} = I$, sedangkan momen inersia sepanjang sumbu simetri di notasikan dengan I_3 , sehingga besar I dan I_3 dapat ditentukan. Hal pertama yang dilakukan adalah menemukan momen inersia pada gas ringbalik pada pusat massa seperti yang ditunjukkan oleh Gambar 1. Kepala gas ringbalik

dalah bagian bola (*sphere*) terpotong yang memiliki radius R sedangkan pegangan yang berbentuk tabung yang memiliki jari-jari r_k dan tinggi h . Momen inersia dengan sumbu putar sumbu 3 atau sumbu n merupakan jumlah dari momen inersia bola terpotong, tabung, dan kerucut gas ringbalik, sehingga

$$I_{TT} = I_{bola} + I_{tabung} + I_{kerucut}$$

Untuk menghitung momen inersia masing-masing sumbu akhirnya ikuti dalam perhitungan sebagai berikut.

Momen Inersia Gas ringbalik pada Sumbu 3



Gambar 2. Sumbu putar pada gas ringbalik

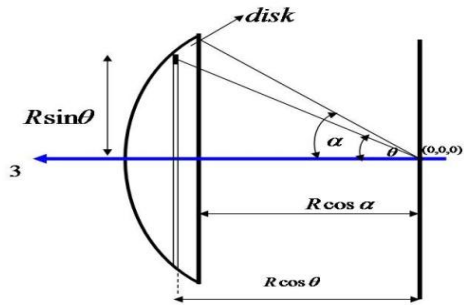
Gas ringbalik terdiri dari bola padat yang terpotong dan tabung yang dianggap sebagai bagian pada gas ringbalik tersebut. Momen inersia pada bola utuh dengan sumbu putar pada sumbu 3 adalah

$$I_{bola \ utuh} = \frac{2}{5} mR^2 = \frac{8}{15} \rho \pi R^5$$

dengan massa bola sebesar

$$m = \rho \frac{4}{3} \pi R^3$$

sedangkan momen inersia pada bagian bola gas ringbalik yang terpotong dengan mengasumsikan potongan bola tersebut sebagai tumpukan disk dengan batas-batas tertentu yang dapat dilihat pada gambar



Gambar3.Potongan bola gasingbalikdengansumbu 3 sebagaiisumbuputar

Momeninersiapotongan bola gasingbalikdengansumbuputaradalahsumbu 3

$$dI = \frac{1}{2} dm r^2$$

dengan

$$I_D = \frac{1}{2} m R_D^2$$

dan $R_D = R \sin \theta$

maka,

$$dI = \frac{1}{2} dm (R \sin \theta)^2$$

sehingga

$$\begin{aligned} I &= \rho \int_{\theta=0}^{\alpha} \left[\frac{(R \sin \theta)^2}{2} \right] dV \\ &= \frac{8}{15} \pi \rho R^5 \\ &+ \left(\frac{1}{2} \pi \rho R^5 \left(\frac{4}{15} \sin^6 \left(\frac{\alpha}{2} \right) (18 \cos \alpha + 3 \cos(2\alpha) + 19) \right) \right) \end{aligned}$$

karena,

$$m_b = \rho \frac{4}{3} \pi R^3$$

maka,

$$\begin{aligned} I_{bola\ TT} &= m_b R^2 \left(\frac{32}{15} + \frac{2}{3} \left(\frac{4}{15} \sin^6 \left(\frac{\alpha}{2} \right) (18 \cos \alpha + 3 \cos(2\alpha) + 19) \right) \right) \end{aligned}$$

danuntukmomeninersiatabungpadapegangang asingbalikdengansumbuputarsumbu 3 adalah

$$I_{tabung} = \frac{1}{2} m_t b^2$$

sedangkan,

momeninersiakerucutterhadapsumbu 3 adalah

$$I_{kerucut} = \frac{3}{10} m_k r_k^2$$

Jadi, momeninersiagasingbalikpadasumbu 3 adalah

$$\begin{aligned} I_{TT} &= I_{bola\ TT} + I_{tabung} + I_{kerucut} \\ &= m_b R^2 \left(\frac{32}{15} + \frac{2}{3} \left(\frac{4}{15} \sin^6 \left(\frac{\alpha}{2} \right) (18 \cos \alpha + 3 \cos(2\alpha) + 19) \right) \right. \\ &\quad \left. + \frac{1}{2} m_t b^2 + \frac{3}{10} m_k r_k^2 \right). \end{aligned}$$

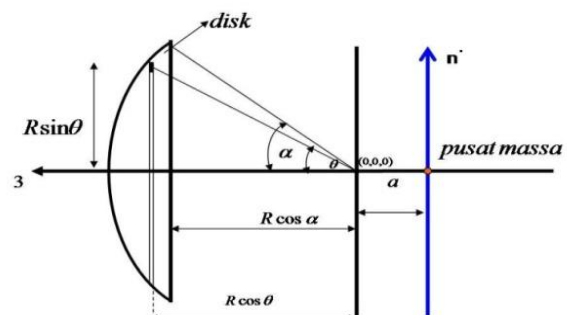
Momeninersiapadasumbun dan n'

Gasing balik terdiri dari bola solid yang terpotong dan tabung yang dianggap sebagai pegangan pada gasing balik tersebut. Momen inersia pada bola utuh dengan sumbu putar pada n adalah

$$\begin{aligned} I_{bola\ utuh} &= I_{CM} + I_d \\ &= \frac{2}{5} m R^2 + ma^2 = \pi R^3 \left(\frac{16}{30} \rho R^2 + \frac{40}{30} \rho a^2 \right) \end{aligned}$$

sedangkanmomeninersiapanabagian bola gasingbalikyangterpotongadalah:

Dalammenghitungmomeninersiabagian potongan bola padagasingbalik, potongan bola gasingbalikdiasumsikansebagaitumpukan disk denganbatas-batas tertentu yang dapatdilihatpadaGambar4



Gambar4.Potongan bola gasingbalikdengann' sebagai sumbu putar

sehingga, momen inersia potongan bola gasing balik dapat dihitung sebagai berikut

$$dI = I_D + dm l^2$$

dengan

$$I_D = \frac{1}{4} m R_D^2 \text{ dan } R_D = R \sin \theta$$

maka,

$$dI = \frac{1}{4} dm (R \sin \theta)^2 + dm (R \cos \theta + a)^2$$

sehingga,

$$I = \rho \int_{\theta=0}^{\alpha} \left[\frac{(R \sin \theta)^2}{4} + (R \cos \theta + a)^2 \right] dV$$

untuk volume yang meliputi seluruh ruang adalah

$$dV = \pi R_D^2 dz$$

Dengan

$$z = R \cos \theta$$

maka,

$$dz = dR \cos \theta - R \sin \theta d\theta$$

karena R konstan, suku pertama nol, sehingga

$$dz = -R \sin \theta d\theta$$

jadi,

$$\begin{aligned} dV &= \pi (R \sin \theta)^2 (-R \sin \theta d\theta) \\ &= -\pi R^3 \sin^3 \theta d\theta \end{aligned}$$

dapat dihitung momen inersia bola gasing balik yang terpotong adalah

$$\begin{aligned} I &= -\rho \int_{\theta=0}^{\alpha} \left(\frac{(R \sin \theta)^2}{4} + (R \cos \theta + a)^2 \right) (\pi R^3 \sin^3 \theta d\theta) \\ &= \pi R^3 ((-9 \cos^5 \alpha + 10 \cos^3 \alpha + 15 \cos \alpha) R^2 \\ &\quad - \frac{(30 \cos^4 \alpha - 60 \cos^2 \alpha) a R + (20 \cos^3 \alpha - 60 \cos \alpha) a^2}{60} \\ &\quad + \frac{8R^2 + 15aR + 20a^2}{30}) \end{aligned}$$

Momen inersia bola terpotong pada gasing balik merupakan momen inersia seluruh bola dikurangi dengan momen inersia potongan bola gasing balik tersebut adalah

$$\begin{aligned} I_{\text{bola TT}} &= I_{\text{bola utuh}} - I_{\text{potongan bola TT}} \\ &= \pi R^3 \left(\frac{16}{30} R^2 + \frac{40}{30} a^2 \right) - \pi R^3 (-9 \cos^5 \alpha \\ &\quad + 10 \cos^3 \alpha + 15 \cos \alpha) R^2 \\ &\quad - \left(\frac{(30 \cos^4 \alpha - 60 \cos^2 \alpha) a R + (20 \cos^3 \alpha - 60 \cos \alpha) a^2}{60} \right. \\ &\quad \left. + \frac{8R^2 + 15aR + 20a^2}{30} \right) \\ &= \pi R^3 \left(\frac{16}{30} R^2 + \frac{40}{30} a^2 \right) + \pi R^3 (9 \cos^5 \alpha \\ &\quad - 10 \cos^3 \alpha - 15 \cos \alpha) R^2 \\ &\quad + \pi R^3 \left(\frac{(30 \cos^4 \alpha - 60 \cos^2 \alpha) a R + (20 \cos^3 \alpha - 60 \cos \alpha) a^2}{60} \right. \\ &\quad \left. + \frac{8R^2 + 15aR + 20a^2}{30} \right) \end{aligned}$$

$$\begin{aligned} &= \pi R^3 \left(\frac{24R^2 + 15aR + 60a^2}{30} + (9 \cos^5 \alpha - 10 \cos^3 \alpha \right. \\ &\quad \left. - 15 \cos \alpha) R^2 \right. \\ &\quad \left. + \frac{(30 \cos^4 \alpha - 60 \cos^2 \alpha) a R + (20 \cos^3 \alpha - 60 \cos \alpha) a^2}{60} \right) \end{aligned}$$

dan untuk momen inersia tabung pada pegangan asing balik dengan sumbu putar n adalah

$$\begin{aligned} I_{\text{tabung}} &= m_t \left(\frac{1}{4} b^2 + \frac{1}{12} (R - R \cos \alpha)^2 \right) \\ &= \frac{1}{4} m_t \left(b^2 + \frac{1}{3} R^2 (1 - \cos \alpha)^2 \right) \end{aligned}$$

sedangkan, momen inersia kerucut pada sumbu n' , yaitu

$$\begin{aligned} I_{\text{kerucut}} &= \frac{3}{5} m_k \left(\frac{r_k^2}{4} + h_k^2 \right) \\ &\quad + m_k (h_k + b - c + R \cos \alpha \\ &\quad + a)^2 - m_k c^2 \end{aligned}$$

dengan h_k adalah tinggi kerucut TT. Jadi, momen inersia gasing balik pada sumbu n' adalah

$$I_{\text{TT}} = I_{\text{bola TT}} + I_{\text{tabung}} + I_{\text{kerucut}}$$

$$\begin{aligned}
&= \frac{3}{4} m_b \left(\frac{24R^2 + 15aR + 20a^2}{30} + (9 \cos^5 \alpha \right. \\
&\quad \left. - 10 \cos^3 \alpha - 15 \cos \alpha) R^2 \right. \\
&\quad \left. + \frac{(30 \cos^4 \alpha - 60 \cos^2 \alpha) aR + (20 \cos^3 \alpha - 60 \cos \alpha) a^2}{60} \right) \\
&\quad + \frac{1}{4} m_t b^2 + \frac{1}{3} R^2 (1 - \cos \alpha)^2 + \frac{3}{5} m_k \left(\frac{r_k^2}{4} + h_k^2 \right) \\
&\quad + m_k (h_k + b - c + R \cos \alpha + a)^2 - m_k c^2
\end{aligned}$$

KESIMPULAN

Berdasarkan analisis mengenai momen inersiagaing balik melalui persamaan Euler pada bidang datar dapat diambil simpulan bahwasannya momen inersia gasing balik adalah

$$\begin{aligned}
I_{TT} &= I_{bola TT} + I_{tabung} + I_{kerucut} \\
&= \frac{3}{4} m_b \left(\frac{24R^2 + 15aR + 20a^2}{30} + (9 \cos^5 \alpha \right. \\
&\quad \left. - 10 \cos^3 \alpha - 15 \cos \alpha) R^2 \right. \\
&\quad \left. + \frac{(30 \cos^4 \alpha - 60 \cos^2 \alpha) aR + (20 \cos^3 \alpha - 60 \cos \alpha) a^2}{60} \right) \\
&\quad + \frac{1}{4} m_t b^2 + \frac{1}{3} R^2 (1 - \cos \alpha)^2 + \frac{3}{5} m_k \left(\frac{r_k^2}{4} + h_k^2 \right) \\
&\quad + m_k (h_k + b - c + R \cos \alpha + a)^2 - m_k c^2
\end{aligned}$$

DAFTAR PUSTAKA

- Bou-Rabee, N. M. Marsden, J. E. dan Romero, L. A. 2004. Tippe Top Inversion as a Dissipation-Induced Instability, *SIAM J. Appl. Dyn. Syst.* 3, 352–377.
- Bou-Rabee, N. M. Marsden, J. E. dan Romero, L. A. 2008. Dissipation-Induced Heteroclinic Orbits in Tippe top, *SIAM J. Appl.* Vol 50. No.2. pp. 325-344.
- Bloch, A. M., 2003, *Holonomic Mechanics and Control*, Springer-Verlag, New York.
- Ciocci, M.C., Malengier, B., and Langerock, B. 1998. Towards a Prototype of a Spherical Tippe top, *Am. J. Phys.* 45.1-27.
- Glad, Torkel, Paterson, Daniel, dan Wojciechowski, Rauch. 2007. Phase Space of Rolling Solution of the tippe top. *Sigma* 3, 1-14.
- Gray, C.G. Nickel. B.G. 2000. Constants of the motion for nonslipping tippe tops and other tops with round pegs. *Am. J. Phys.* 68 (9), 821–828.
- Hall, Brian C. 2003. *Lie Groups, Lie algebras, and representations*-Verlag.

